

Из геометрических соотношений рис. 6 и 7 легко определить напряжения и токи ветвей, а также их сопротивления

$$x_{L_1} = x_{L_2} = x_{C_1} = x_{C_2} = R_{O1} m \sqrt{2}; \quad (41)$$

$$x_{L_3} = x_{C_3} = R_{O1} m. \quad (42)$$

Выражения (37), (38) и (41), (42) совместно с рис. 5—7 позволяют рассчитать параметры и определить принципиальную схему согласования однофазной и многофазных систем с любым числом фаз m .

В качестве примера применения описанной методики синтеза согласующих цепей при подключении двухполюсника на фазное напряжение на рис. 8 представлены принципиальная схема и параметры согласующих ветвей, обеспечивающих симметрирование режима шести-фазной системы при подключении к ней однофазной резистивной нагрузки с сопротивлением R_{O1} . На рис. 8 дополнительно обозначены 7 — шести-фазный источник напряжений с нулевой фазой O ; 8 — активный двухполюсник с сопротивлением R_{O1} ; 9 — цепь с одним этапом переноса энергии (симметрирующие ветви); 10 — цепь с двумя этапами переноса мощности; L_5, C_5 — ветви преобразователя однофазного тока в двухфазный (перенос мощности в первом этапе); C_6, C_7 и L_6, L_7 — ветви симметрирующей цепи (перенос мощности во втором этапе).

Если в цепи (рис. 8) источник (зажим $O-6$) заменить активным шести-фазным приемником энергии, однофазный активный приемник (зажимы $O, 1$) — источником, все индуктивные ветви — емкостными, а емкостные — индуктивными с тем же сопротивлением, то цепь приобретает новое свойство — преобразования однофазного тока в симметричный многофазный.

- Музыченко А. Д. Свойства симметрирующих цепей и критерии этих свойств // Техн. электродинамика. — 1987. — № 4. — С. 79—85.
- Музыченко А. Д. Согласование режимов работы многофазных источников и потребителей электроэнергетики // Техн. электродинамика. — 1987. — № 2. — С. 57—60.

Поступила 21.10.86

УДК 621.317.52

Алгоритм определения узлов переключения электрических режимов электроэрозионной обработки

Ленчук И. Г., Ляшенко Б. Н.

На предприятиях электроприборостроения нашли широкое применение методы электроэрозионной обработки (ЭЭО) материалов станками с числовым программным управлением (ЧПУ). Создание гибких производственных модулей и комплексов на базе таких станков предусматривает наличие системы автоматизированного выбора оптимальной последовательности электрических режимов ЭЭО и толщины слоя материала, снимаемого с электрода-заготовки (ЭЗ), при которых эти режимы включаются.

Параметры электрических режимов, как известно, зависят от выбранного типа источника питания и связаны аналитически [4] с электрическими параметрами импульсов — амплитудой I_a и длительностью t_u импульса тока, длительностью t_n паузы между импульсами. К таким параметрам относят частоту f_i и скважность q_i импульсов; число E_i работающих силовых блоков генератора; число G_i работающих тран-

зисторов в каждом (жимв). Значения па они выбираются соот

Известны методы выбора последовательности вводят в рассмотренной $Oxyz$, где на оси ординат электрода-инструмента R поверхности берется осью аргумента

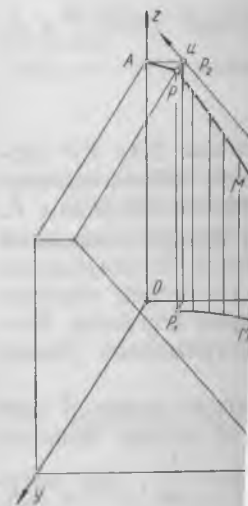


Рис. 1

значение l толщине координат пространства точку $K(l_k, h_k, R_k)$ ньющей точки A довательность режима задача определена таких, прохождения затрат времени. Выбор вариационного метода может быть представлен отрезком прямой A новой (предварительно в проектирующей) ЭЭО.

Указанная кривая описывается аналогично

где a, b, c, a_1, b_1 рациональные числа, далее в изложении (таблицы). Грань заданием их абсцисс

Требуется найти отрезков и найти последовательность переключения элементов

Перейдем к построению карты систем переключения за ось абсцисс

зисторов в каждом силовом блоке ($i=1, 2, \dots, N$, N — количество режимов). Значения параметров образуют дискретные ряды, из которых они выбираются соответственно режиму.

(41)

(42)

Известны методики расчета значений f_i , q_i , E_i и G_i . При этом для выбора последовательности значений технологических показателей [4] вводят в рассмотрение прямоугольную декартовую систему координат $Oxyz$, где на оси ординат откладывают значения h абсолютного износа электрода-инструмента (ЭИ) (рис. 1), а на оси аппликат — шероховатость R поверхности ЭЗ. Ось абсцисс в данном варианте расчета является осью аргументов и на ней в определенных пределах изменяется

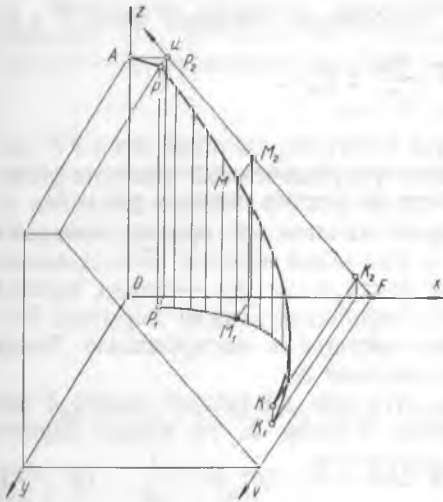


Рис. 1

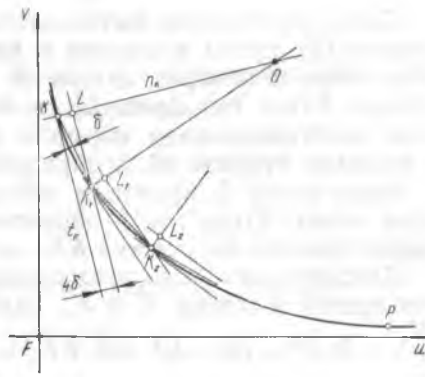


Рис. 2

значение l толщины слоя материала, снимаемого с ЭЗ. В этой системе координат пространства задают точку $A(l_H, h_H, R_H)$ — начало ЭЗО и точку $K(l_K, h_K, R_K)$ — конец ЭЗО. Каждой непрерывной линии, соединяющей точки A и K и характеризующей вполне определенную последовательность режимов, соответствует свое время обработки. Решается задача определения равномерно расположенных точек между A и K таких, прохождение через которые от A к K требует минимальных затрат времени. Выбор траекторий этого перехода производится методами вариационного исчисления [1, 3]. При этом полный процесс ЭЗО может быть представлен кусочно-непрерывной кривой, составленной из отрезка прямой AP в горизонтальной плоскости, соответствующего черновой (предварительной) ЭЗО, и отрезка кривой PK , расположенного в проецирующей плоскости и соответствующего чистовой (доводочной) ЭЗО.

Указанная кусочно-непрерывная линия является экстремалью e и описывается аналитически системой уравнений

$$z = a(b - x) + c; \quad y = a_1(b_1 - z'), \quad (1)$$

где a , b , c , a_1 , b_1 , t — определенные параметры, представляющие собой рациональные числа, каждое из которых отлично от нуля (здесь и далее в изложении имеем в виду только криволинейный участок экстремали). Граничные точки P и K дуги кривой вполне определяются заданием их абсцисс x_P и x_K .

Требуется разбить отрезок PK кривой e на n равных по длине отрезков и найти координаты точек разбиения, называемых узлами переключения электрических режимов.

Перейдем от пространственной системы $Oxyz$ к прямоугольной декартовой системе координат uFv на плоскости экстремали. При этом за ось абсцисс Fu примем след-проекцию P_2K_2 упомянутой плоскости

кривизны следует вычислять только числитель, поскольку важен ее знак, а не значение. При этом

$$d^2v/du^2 = t(t-1)ru_K^{t-2}.$$

Знаменатель в указанном выражении всегда больше нуля.

Уравнение нормали (3) к экстремали в точке K можно записать в виде

$$v = -\frac{1}{s}u + \left(v_K + \frac{u_K}{s}\right). \quad (6)$$

Поскольку секущая, проходящая через точку L , перпендикулярна нормали (6), то согласно условию перпендикулярности двух прямых ($k_1k_2 = -1$), уравнение секущей может быть представлено выражением

$$v - v_L = s(u - u_L), \quad (7)$$

где u, v — текущие координаты прямой.

Для определения координат точки $K_1(u'_K; v'_K)$ пересечения секущей (7) с заданной кривой (2) решаем совместно эти уравнения

$$\begin{aligned} v'_K - v_L &= s(u'_K - u_L); \\ v'_K &= p + r(u'_K)^t. \end{aligned} \quad (8)$$

Выполнив соответствующие преобразования системы, получим:

$$su'_K - r(u'_K)^t + n = 0, \quad (9)$$

где $n = v_L - p - su_L$.

Очевидно, что прежде чем искать корни уравнения (9), целесообразно проверить, пересекает ли прямая (7) экстремаль между опорными точками K и P . С этой целью рассмотрим взаимное расположение точек $K(K_1, K_2, \dots)$. P относительно прямой, взорвав представим как функцию от двух переменных в виде $f(u, v) = v - v_L - s(u - u_L)$.

Если точки K и P лежат в разных полуплоскостях, определенных прямой, т. е. $f(u_K, v_K)f(u_P, v_P) < 0$, то хорда KP , а значит, и одноименная дуга кривой пересекаются с секущей. В противном случае общая точка прямой и кривой находится за пределами дуги, заключенной между точками K и P (или совпадает с P , если $f(u_K, v_K)f(u_P, v_P) = 0$).

Поскольку параметр t может принимать любые значения из совокупности рациональных чисел, кроме $t=0$, то решать уравнение (9) удобнее всего каким-либо численным методом. В данном случае можно воспользоваться методом половинного деления [2], приводящим сравнительно быстро к результату и не вызывающим особых затруднений пользователя. При этом отрезком изоляции корня будет интервал $[u_K, u_P]$ (рис. 3), так как 9 является результатом вычитания из уравнения экстремали 2 уравнения секущей 7, а искомый корень обязательно принадлежит указанному отрезку.

Ординату точки K_1 находим подстановкой найденного значения u'_K в уравнение (2): $v'_K = p + r(u'_K)^t$. На участке KK_1 дугу экстремали e заменяем хордой KK_1 , длину которой вычисляем по формуле

$$l = \sqrt{(u'_K - u_K)^2 + (v'_K - v_K)^2}.$$

В дальнейшем аналогично находим координаты следующей узловой точки аппроксимации K_2 с тем же допуском δ . Дугу экстремали K_1K_2 заменяем одноименной хордой, а длину последней приплюсовываем к длине хорды KK_1 и т. д. Результатом вычислений будет развертка на прямую дуги экстремали KP длиной l , определенной с высокой степенью точности. В качестве последней узловой точки упорядо-

v — линию пере-
учсть (1) и то,
0; 0), то неслож-
 $z = tu$, где $m =$
ной системе коор-

(2)

ных точек P и K :

ния дуги KP экс-
й последователь-
лым допуском δ .
процесс вписания
ой. Откладываем
— конец отрезка
но нормали. На-
тремально. Тогда

чно малого δ кри-
о можно записать

$= \frac{1}{k}$. Из треуго-

$= R^2 - (R - KL)^2$.

$= 4\delta - \frac{2\delta^2}{R}$. Но

на нормали, ре-

(3)

чке K к заданной
 L , выраженное

(4)

вую необходимо,
и в направлении
(противополож-
ивизна положи-
ельной полупря-
на отрицатель-
вления выпукло-

(5)

Причем в формуле

тая и экстремаль

вно в начале изло-
но, R_{n-1} на кривой,
но, если при этом

$$\frac{1}{n} l, l_2 = \frac{2}{n} l, \dots$$

$$i = \frac{i}{n} l, \text{ где } i =$$



с началом в од-
(R_i) соответст-

к уже описан-
последователь-
в точке K от-
ща отрезка 4δ .
и и находим ее
м длину хорды
оцесс вписания
точку K_2 . На-
ать сравниваем
узловую точку
ным неравенст-
ться равенство,
е фиксируем
- K_{j-1} и $T = K_j$
промежуточ-

о деления, но
этной задаче.
й изображен
и R_1 по дуге
дуге. Требу-
тобы модуль
данной точ-

й u_0 пополам:
расстояние от
 $v_s - v_0$. Ес-
о задача ре-
мму $l_s + l_0$ с

l_1 . Если здесь $l_s + l_0 < l_1$, то в точку с координатами $(u_0; v_0)$ переносим точку S (обозначаем $l_s = l_s + l_0, u_s = u_0$), в противном случае — точку T (обозначаем $u_T = u_0$).

Дальше выполняем очередное деление пополам вновь полученного интервала $[u_s, u_T]$ до тех пор, пока не будет удовлетворено требование точности нахождения точки R_1 на кривой.

Для определения координат точки $R_2(u_2, v_2)$, делящей отрезок экстремали KP в отношении $l_2 = \frac{2}{n} l$, все начинаем сначала — с точки K . Дальше аналогично до точки $R_{n-1}(u_{n-1}; v_{n-1})$.

Координаты точек $K, R_1, R_2, \dots, R_{n-1}, P$ в ортонормированной системе координат $Oxyz$ находим по формулам $y = v, z = tu, x = b + \frac{c}{a} - \frac{1}{a} z$.

В заключение отметим, что приведенная в настоящей работе вычислительная схема позволяет посредством несложных математических операций решить важную инженерную задачу этапа подготовки эксплуатации электроэрозионных станков с ЧПУ в электроприборостроении, автоматизировать процесс подготовки именно геометрической информации для работы с этими станками. Компактность вычислительной схемы позволила авторам реализовать описанный алгоритм на персональных ЭВМ и передать его для внедрения на Головном предприятии Житомирского ПО «Электроизмеритель».

1. Вексель И. Г., Левин А. И. Оптимальное управление электрическими режимами электроэрозионной обработки // Станки и инструмент.— 1986.— № 2.— С. 26—28.
2. Козин А. С., Лященко И. Я. Вычислительная математика.— Киев: Рад. школа, 1983.— 191 с.
3. Лаврентьев М. А., Люстерник Л. А. Курс вариационного исчисления.— М.; Л.: Гос. изд-во техн.-теор. лит-ры, 1950.— 296 с.
4. Электроэрозионная и электрохимическая обработка. Расчет, проектирование и применение электродов-инструментов: Ч. 1. Электроэрозионная обработка.— М., 1980.— 224 с.

Поступила 15.10.86

УДК 621.318.435:621.314.1

Накопление, обмен и потери энергии в многообмоточном дросселе однотокового преобразователя напряжения

Криштафович И. А., Кузьменко А. Я.

В системах вторичного электропитания широко применяются однотоковые преобразователи напряжения, обладающие рядом преимуществ по сравнению с двухтактными [3, 4]. Однотоковые преобразователи используются в многоканальных системах электропитания, источниках повышенной мощности и высокого напряжения.

Рассмотрим процессы накопления и обмена электромагнитной энергией в многообмоточном дросселе однотокового преобразователя с обратным включением диодов (рис. 1). Дроссель содержит в общем случае n обмоток, из которых обмотка $N1$ является первичной, а обмотки $N2 \dots Nn$ — вторичные, причем последние могут соединяться через обратные диоды параллельно для получения повышенной мощности или последовательно — для получения высокого напряжения [2, 5]. Распространенным является построение дросселя с так называемой рекуперированной, или размагничивающей обмоткой $N2$, которая имеет